

# ГЕНЕРАЦИЯ ТРЕТЬЕЙ ГАРМОНИКИ В СВЧ-ДИАПАЗОНЕ СВЕРХПРОВОДЯЩЕЙ КЕРАМИКЕ

А.В. Приходько, С.В. Козырев,  
В.Ф. Мастеров, С.Э. Хабаров

Показано, что облучение высокотемпературного керамического сверхпроводника электромагнитным полем СВЧ при  $T=77$  К приводит к генерации излучения на частоте  $3\omega$ . В зависимости мощности излучения  $P_{3\omega}$  от мощности падающего излучения имеется порог по  $P_\omega$ . Рассмотрены возможные модели нелинейных свойств керамических ВТСП, ответственных за наблюдаемый эффект.

Известно, что керамические высокотемпературные сверхпроводники являются нелинейными средами, свойства которых определяются наличием большого числа внутренних джозефсоновских переходов (см., например, [1]). Одним из проявлений существования нелинейности в сверхпроводниках при гелиевых температурах является образование комбинационных частот при помещении образца в электромагнитное поле, в частности, генерация гармоник в области СВЧ [2-7]. Не рассматривая одиночного джозефсоновского контакта, основной причиной возникновения нелинейных эффектов в сверхпроводниках является структура вихрей, возникающая в магнитных полях выше первого критического  $H_{c1}$ , которая в тонких сверхпроводящих пленках оказывается много ниже, чем у монолитных образцов [6].

Недавно наблюдалось излучение удвоенной и утроенной частоты при облучении керамики  $\text{YBa}_2\text{Cu}_3\text{O}_{7-x}$  СВЧ-полем в широком интервале температур ниже  $T_c$  [8]. Авторы [8] объяснили полученные результаты на основании представлений о существовании в об разце внутренних джозефсоновских переходов.

В настоящей работе приводятся новые результаты исследования процесса генерации третьей гармоники в керамических ВТСП, указывающие на существование пороговой мощности падающего излучения, выше которого начинается процесс генерации.

Для выделения излучения с частотой  $3\omega$  использовался бимодальный резонатор, в 3-см камеру которого помещался исследуемый образец в форме параллелепипеда размерами  $1 \times 1 \times 10$  мм<sup>3</sup> (см. вставку на рис. 1). Во избежание пробоя образец помещался в изолирующую втулку. В качестве генератора СВЧ-мощности использовался клистрон, работающий на частоте 6.8 ГГц в импульсном режиме с длительностью импульсов 2 мкс и частотой следования 10 Гц. Максимальная падающая мощность в импульсе равнялась 1.3 кВт. Регистрация  $P_{3\omega}$  осуществлялась через волновод сечением  $11 \times 5.5$  мм<sup>2</sup>, связанный с перестраиваемой камерой бимодального резонатора. Длина волны генерируемого излучения определялась с помощью измерительной линии Р3-31, а падающего - Р3-28.

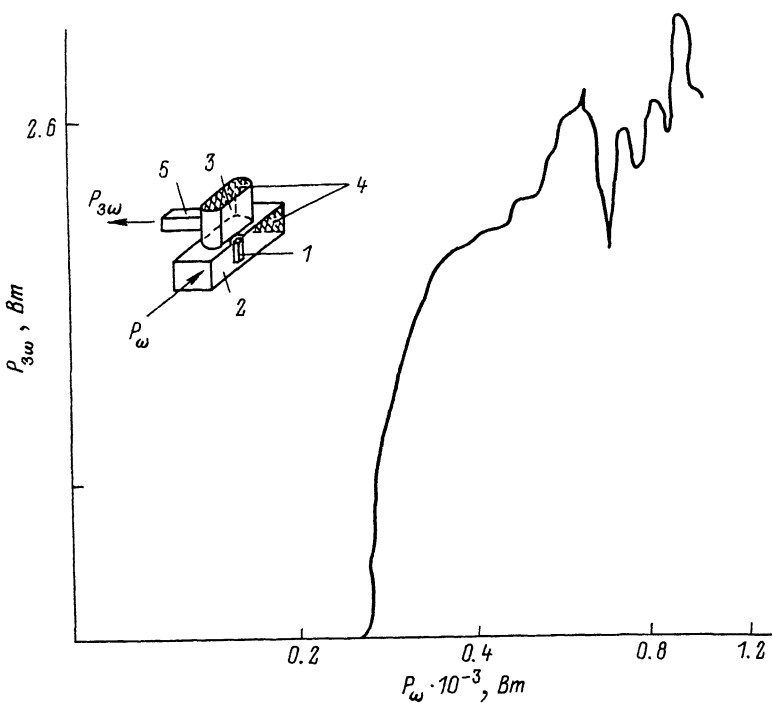


Рис. 1. Зависимость мощности третьей гармоники  $P_{3\omega}$  от падающей мощности  $P_\omega$ . На вставке - схема опыта: 1 - образец, 2 - 3-см волновод, 3 - резонатор 20, 4 ГГц, 4 - подвижные стенки волновода и резонатора, 5 - измерительный волновод.

Эксперимент проводился при  $T=77$  К в нулевом магнитном поле. На рис. 1 приведена зависимость импульсной мощности с частотой  $3\omega$  в зависимости от падающей мощности  $P_\omega$ . Как видно из рисунка генерация третьей гармоники для данного образца возникает при значениях  $P_\omega \gtrsim 300$  Вт. На рис. 2 приведен вид импульса излучения с частотой  $3\omega$  при разных уровнях падающей мощности. Характерна нестабильность вершины импульса излучения во времени.

Одним из предположений, объясняющих нелинейность керамических ВТСП, является существование в них множества внутренних джозефсоновских переходов. При приложении к одиночному джозефсоновскому переходу разности потенциалов  $V(t)=V_0+\omega \cos \omega t$  ток через переход имеет вид [9]:

$$j=j_c \sin \left[ \frac{2e}{\hbar} (V_0 t + \theta_0) \right] \left[ J_0 \left( \frac{2e\omega}{\hbar\omega} \right) + 2 \sum_{k=1}^{\infty} J_{2k} \left( \frac{2e\omega}{\hbar\omega} \right) \cos 2k\omega t \right] + \\ + j_c \cos \left[ \frac{2e}{\hbar} (V_0 t + \theta_0) \right] \cdot 2 \sum_{k=1}^{\infty} J_{2k-1} \left( \frac{2e\omega}{\hbar\omega} \right) \sin [(2k-1)\omega t], \quad (1)$$

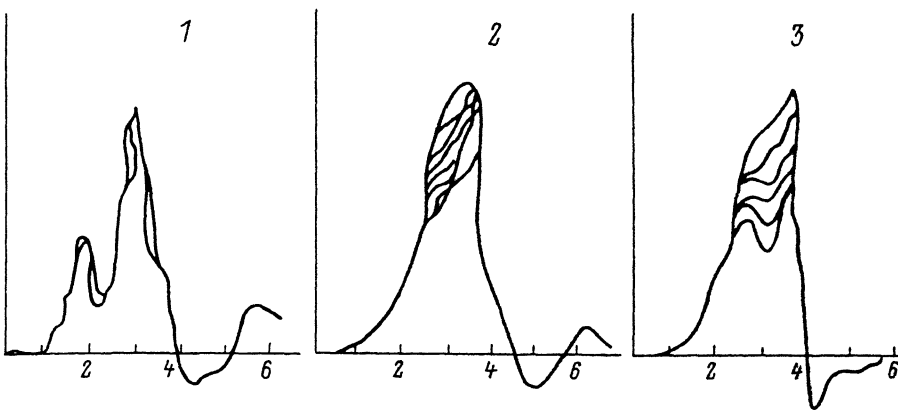


Рис. 2. Форма импульсов  $P_{3\omega}$  при различных уровнях падающей мощности: 1 -  $P_{\omega} = 400$  Вт, 2 - 0.8 кВт, 3 - 1.3 кВт.

где  $J_K$  - функция Бесселя;  $\theta$  - начальная фаза. Из приведенного выражения видно, что выполнение условий  $V_0 = 0$  и  $\theta_0 = 0$  в токе через переход существуют нечетные гармоники с немонотонной зависимостью амплитуды от падающей мощности. В частности, для третьей гармоники имеем:

$$j_3 = j_c \cdot 2J_3\left(\frac{2ev}{\hbar\omega}\right) \sin 3\omega t, \quad (2)$$

где зависимость амплитуды тока от падающей мощности определяется функцией  $J_3\left(\frac{2ev}{\hbar\omega}\right)$ . Однако, зависимость  $P_{3\omega}(P_{\omega})$ , приведенная на рис. 1, имеет явно пороговый характер. Одной из возможных причин появления порога является возбуждение вынужденных колебаний в системе связанных джозефсоновских переходов, синхронизация которых осуществляется полем излучения. В таком подходе ставится понятным и неустойчивости, проявляющиеся в „дрожании“ вершины импульса  $P_{3\omega}$ .

Другой возможной причиной возникновения колебаний на частотах, кратных частоте возбуждения, могут быть нелинейные явления в множественной джозефсоновской среде, связанные с возникновением в ней структуры вихрей (см., например, [6]). В этом случае порог возбуждения колебаний с частотой  $3\omega$  определяется просто полем  $H_C$ , характерным для такой джозефсоновской среды. Очевидно, что значение его много меньше значения критического поля для отдельного кристаллита.

Для однозначного определения механизма генерации третьей гармоники в керамических ВТСП необходимо провести дополнительные

эксперименты с возбуждением образца различными компонентами, электромагнитного поля с частотой  $\omega$ .

Авторы считают приятным долгом выразить благодарность А.Г. Аронову за обсуждение результатов работы.

## Л и т е р а т у р а

- [1] М а с т е р о в В.Ф., Е г о р о в А.И., Г е р а с и м о в Н.П. и др. — Письма в ЖЭТФ, т. 46, в. 7, с. 289–292.
- [2] S h a r i p o S. — J. Appl. Phys., 1967, v. 38, N 4, p. 1879–1884.
- [3] N e t h e r g o t A.H., v o n G u t f e l d R.J. — Phys. Rev., 1963, 131, N 2, p. 576–588.
- [4] R o s e K., S h e r r i l l M.D. — Phys. Rev., 1966, v. 145, N 1, p. 145–188.
- [5] П е ск о в ац к и й С.А., Б р у И.И., Б арил о вич О.И. — Письма в ЖЭТФ, 1967, т. 6, в. 7, с. 759–762.
- [6] Г у б а н к о в В.Н., Л и х а р е в К.К., М а р г о лин Н.М. — Письма в ЖЭТФ, 1970, т. 11, в. 5, с. 246–250.
- [7] S e r a p h i m G.R.S., M c D e r m o t t R.C. — Phys. Lett., 1970, 32A, N 1, p. 35–36.
- [8] А б р а м о в О.В., Л е в и ц е в Г.И., П о г о с о в В.Г., Т р у ш и н М.Р. — Письма в ЖЭТФ, 1987, т. 46, в. 11, с. 433–435.
- [9] А б р и к ос о в А.А. Основы теории металлов, М.: Наука, 1987, 520 с.

Физико-технический  
институт им. А.Ф. Иоффе  
АН СССР, Ленинград

Поступило в Редакцию  
6 мая 1988 г.

Письма в ЖТФ, том 14, вып. 16

26 августа 1988 г.

## ПОЛЕВАЯ ИОННАЯ МИКРОСКОПИЯ СВЕРХПРОВОДНИКА $YBa_2Cu_3O_{7-x}$

Г.А. М е с я ц, Н.Н. С ю т к и н,  
В.А. И в ч е н к о, Е.Ф. Т а л а н ц е в

Методом полевой ионной микроскопии получено изображение поверхности сверхпроводника  $YBa_2Cu_3O_{7-x}$  с атомным разрешением. Показано, что микрокартины чистой поверхности создают преимущественно атомы иттрия.

1. Атомная структура сверхпроводящей керамики  $YBa_2Cu_3O_{7-x}$  изучалась в полевом ионном микроскопе. Возможности полевой ион-